

配電用 變壓器의 合理的인 仕樣과 그 設計法

(The Optimum Specifications and Design of Distributive Transformers)

李承院*
(Sung Won Lee)

ABSTRACT

Firstly, this study has analyzed the following factors affecting the optimum specifications and design of distributive transformers:

1. Facilities installation cost per unit power output.
2. Facilities operating & maintenance cost per unit power output.
3. Production cost per unit power output.
4. Load factor.
5. Loss factor.

Secondly, it has clarified the relations between the following factors and the specifications and design of distributive transformers:

1. No-load loss.
2. Load loss.
3. Voltage regulation.
4. Exciting current.

Finally, it has determined the method of the most economic design for the transformers using the above factors and realtions, and, for optimum the illustrative purpose, suggested their optimum specifications, way of evaluation, and merits by means of a typical example.

■ I. 緒論

配電用 變壓器의 合理的인 仕樣과 設計를 為하여 이에
關係되는 諸要素로서

1. 單位 出力當 電力施設 所要經費
2. 單位 出力當 施設 維持費
3. 單位出力 生產 價格

4. 負荷率

5. 損失率

等이 關係됨을 究明하였고 二次の으로

1. 無負荷損
2. 負荷損
3. 電壓變動率
4. 勵磁電流

의 關係를 究明하였다.

다음에는 上記와 같은 關係 結果에 따라 가장廉價인
變壓器 設計法을 究明하였고 그 結果로 列를 들여 新仕
樣變壓器의 利點을 明示, 合理的인 配電變壓器 仕樣과
設計評價法을 提示하는 바이다.

II. 變壓器 特性의 相互 關係

電力會社에 있어서 配電部門 投資의 全 施設投資에 對
한 比率은 約 40%에 達한다. 故로 이 部門에 對한 電力
事業家 및 技術者들의 關心은 至大한 것이다. 配電部門
施設中에서도 가장 重要한 位置를 차지하고 있는 것이
配電變壓器인데 이 配電變壓器가 갖추어야 할 要件를 살
펴 보면 設計 技術者가 技術的인 立場에서 볼 때는 可能한
限 損失을 줄이어 그 効率을 增加 시킬려고 할 것이다.
이 結果는 運轉費를 減縮 시키게 된다. 이와 反面에 投
資者는 될 수 있는데로廉價인 即 材料가 덜 드는 變壓
器를 要求할 것이다. 이것은 그 初期 投資를 적게 할려는
데 基因되는 것이다. 그리고 또 한면 使用者 即 需要
家의 立場에서는 電壓變動率이 적고 故障이 나서 停電
이 되는 일이 없는 變壓器를 要求한다.

以上과 같이 三者の 要求條件이 各已 相異할뿐 아니
라 서로 相反되는 點이 있는 것이다. 即 銅과 鐵材를 節
約하여 價格을廉價로 만들면 初期投資는 減少되지만 磁
束密度와 電流密度는 增大되어 損失이增加하여 運轉費
가 增加되는 것이다. 또 電壓變動率도 增大되어 需要家
의 不平도 增大할 것이다. 反對로 電壓變動率이 좋고 故

* 서울工大 教授·正會員
Professor of Seoul National University

$$\left. \begin{aligned} \frac{b'}{a'+ka} &= 1+y, \quad \frac{b}{(a+k'a')} = 1-y \\ \frac{b'}{a+k'a'} + \frac{b'}{a'+ka} &= 2 \\ \frac{M_i}{M_c} &= \frac{m_i a(1-y)(2+y)}{m_c a'(1+y)(2-y)} = \frac{1+2y}{1-2y} \end{aligned} \right\} \dots\dots\dots (35)$$

여기서

$$\left. \begin{aligned} \beta &= a'/a \quad m_o = m_i/m_c \\ Y &= \frac{(1-y)(2+y)(1-2y)}{(1+y)(2-y)(1+2y)} \end{aligned} \right\} \dots\dots\dots (36)$$

라고 하면 $\beta = m_o Y$ 가 되며 (29)式의 第1項과 第5項을 (32), (35), (36)式을 써서 y, β 로 표시해 가지고 β 를 구하면

$$\beta = Z + \sqrt{Z^2 + \frac{k}{k'} \frac{1+y}{1-y}} = m_o Y \dots\dots\dots (37)$$

$$\text{여기서 } Z = \frac{1+kk'}{2(1-y)k'}$$

即 y 를 假定하면 (37)式으로부터 β 가 定해지고 또 (36)式에서 Y 가決定된다. 따라서 (35)式으로부터 $b/a, b'/a$ 가決定되고 (27)式에서 a 가定해진다. 反對로 m_c 가 주어지면 y, β, a 를求할 수가 있게 되고 이것으로부터 모든寸數가求해진다. 지금單相內鐵型變壓器 即 $k=2, k'=\pi/4$ 의 경우를 보면 (36), (37)式으로부터

$$\begin{aligned} m_o &= \frac{(1-y)(2+y)(1-2y)}{(1+y)(2-y)(1+2y)} \\ &= \frac{\left(1+\frac{\pi}{2}\right)y}{2(1-y)\pi/4} + \sqrt{\left\{\frac{\left(1+\frac{\pi}{2}\right)y}{2(1-y)\pi/4}\right\}^2 + \frac{8(1+y)}{\pi(1-y)}} \end{aligned}$$

가 되어 m_o 와 y 의關係曲線을 그릴 수가 있다.

그림 2는 이曲線으로서 m_o 와 치수와의關係가 그림 3이다. 다음에 주어진 鐵損과 銅損을變化시킨 경우 및 m_o 가變化한 경우에 關해서検討해 보면

(a) (L)를一定히하고 (I)를變化시키면 그림 4와 같이 되어 鐵損을增加시키면 鐵量이減少되어 價格은 变하되 B 가 커서 I_o 가增加한다.

(b) (I) \times (L)를一定히하고 (L)/(I)를變化시키면 m_i 가 주어지면 각部의寸數가定해져서 (27), (28)式이各己 a^2, a^3 에 比例함으로

$$M = k^3 [(I) \times (L)]^{-\frac{3}{2}} \dots\dots\dots (38)$$

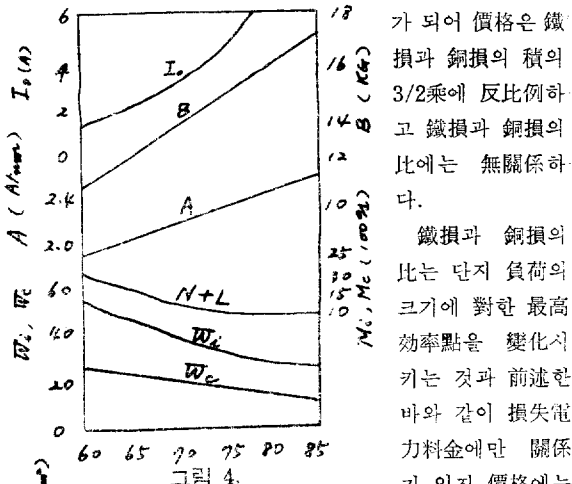


그림 4.

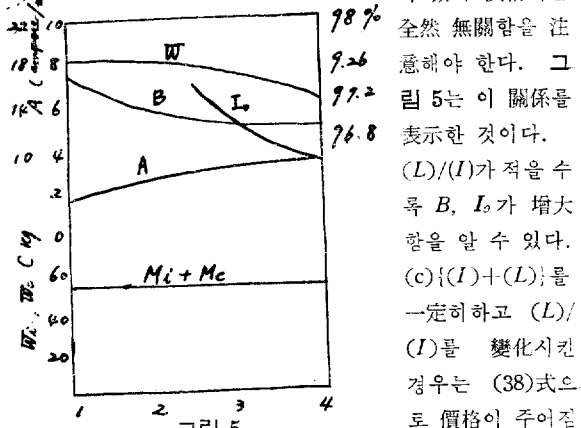


그림 5.

으로 (L)=(I)가 될 때 價格이 가장 大き 된다. 그림 6은 이關係를 表示한 것이다.

(d) m_c 即 硅素鋼板 單價 및 銅線 單價가 여러 가지로變化한 경우로서一般的으로 硅素鋼板의 價格變動은 矢고 銅은 그 價格變動이 심하다. 그리고 銅損는 그種類에따라서도 價格差異가 많다. M_c 의變化에對한 것이 그림 7이다.

m_o 가 커지면 即 銅과 鐵의 單價가接近할 수록 鐵量을減하고 銅量을增加시키면 最小價格의變壓器를 얻을 수 있음을 表示하고 있다. 銅量이增加함으로 銅損値을保持할려면 電流密度가增加하고 反對로 鐵量이減少하기

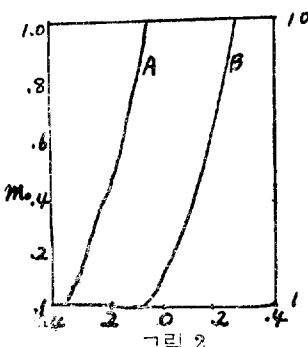


그림 2.

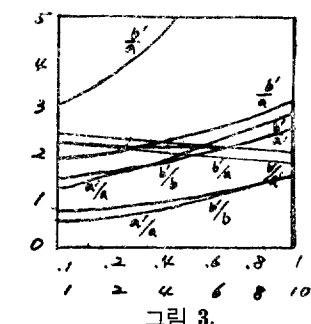


그림 3.

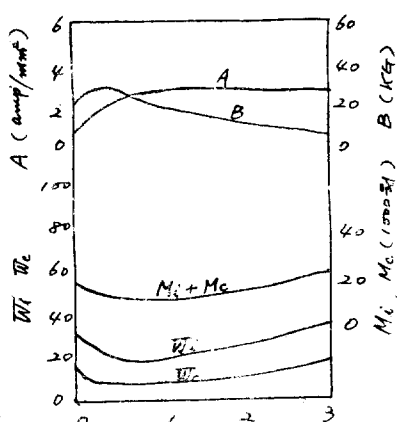


그림 6.

가 되어 價格은 鐵損과 銅損의 積의 3/2乘에 反比例하고 鐵損과 銅損의比에는 無關係하다.

鐵損과 銅損의比는 단지 負荷의크기에對한 最高効率點을變化시키는 것과前述한 바와 같이 損失電力料金에만 關係가 있지 價格에는全然無關함을 注意해야 한다. 그림 5는 이關係를表示한 것이다. (L)/(I)가 矢을 수록 B, I_o 가增大할을 알 수 있다. (c) {(I) + (L)}를一定히하고 (L)/(I)를變化시킨 경우는 (38)式으로 價格이 주어짐

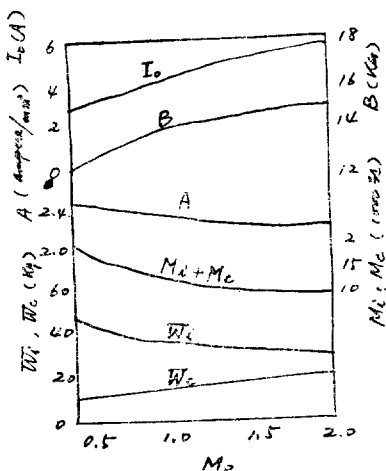


그림 7.

V. 其他 條件

A. 變壓器의 過負荷 能力

過去數十年에 걸친 研究發展으로 말미아마 柱上變壓器의 溫度上昇限界는 變壓器設計上의 制限條件이 끝되게 되어 버렸다.

그림 8은 15 KVA 變壓器의 過負荷 溫度 上昇 曲線인데 倍의 負荷에서 도 溫度 上昇限界點 以下임을 볼 수 있다. 이와 같이 이 過負荷 自體는 制限 (溫度上昇에 對한)이 되지 못 하나 過負荷로 因하여 電壓降下가 增大하게 되고 損失費가 增加하게 되어 이들에 依한 制限을 받게되는 것이다.

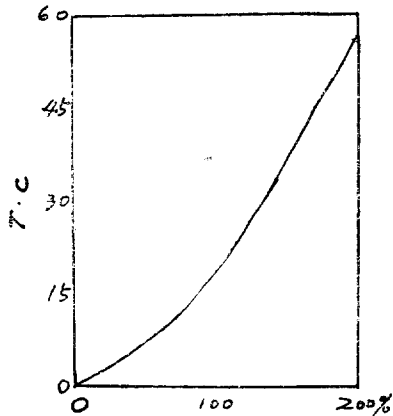


그림 8.

때문에 B , I_0 는增加하게 된다. m_0 가變化하면 따라서 y 가變化하고 變壓器寸數 및 磁束密度, 電流密度가決定된다.

合成樹脂類가研究發展되어 포리비닐 호루말, 포지유파탄樹脂等에 依한 에나멜 絶緣電線等이研究發展되어 從來의 A種以上의 溫度에서 使用할 수 있음이 確認되고 있다. 實驗結果 이것은 從前의 A種 絶緣材料보다 最高溫度가 15°C 더 높게 許容됨이 判明되었다. 따라서捲線의 溫度는 25% 가령 더 높게 取할 수 있게 된다.

C. 鐵材와 損失

硅素鋼板은 그 溫度가 上昇함에 따라 損失이 減少한다.

그림9은 鐵損과 溫度와의 關係曲線으로서 75°C 때와 85°C 때는 그損失이 約 5% 차이가 남을 볼 수가 있다. 이는 變壓器의 動作溫度를 上昇시킴으로서 無負荷損失을 減縮 시킬 수 있음을 보여 주고 있다.

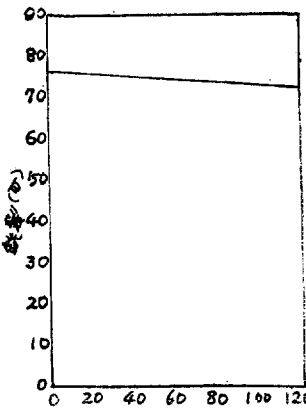


그림 9.

D. 溫度上昇과 冷却裝置

變壓器捲線 制限 溫度를 上昇시키면 損失이 一定한限 冷却裝置를 節約할 수 있어 變壓器自體를廉價로 할 수 있거나 이 경비를 鋼과 鐵에 配當함으로서 損失을 減縮 시킬 수 있을 것이다.

E. 冷却油

變壓器油도 많은 研究의 結果 그 flash point가 大端히 上昇되고 있다.

以上 V項의 諸條件를 檢討한 結果를 綜合하면 現 變壓器의 溫度上昇限度를 上昇시키고 또 그負荷를 增加시켜도 無妨害를 알 수가 있다. 이미 電動機에 關해서는 더 許容한 I.E.C.E種 電動機의 規格이 諸定되어 있는 터이다. 本 研究에서는 變壓器의 溫度上昇限度를 10°C 上昇 시키고 그負荷를 200%까지 增加시키기로 한다.

VI. 우리나라 配電系統의 現況

A. 損失係數 및 利用率

韓國電力의 配電 變壓器 損失係數는 表2와 같으며

表 2. 變壓器 損失係數

種別	地域	서울	京畿	忠南	備考
動力	小都市	—	—	0.19	
從量燈	大都市	0.178	—	—	
	小都市	—	0.40	—	
定額燈	農村	—	—	0.22	
	小都市	—	0.23	—	
	農村	—	—	0.16	

利用率은 表 3 과 같다.

表 3. 電燈用 變壓器의 利用率

%	21 30.	31 40	41 50	51 60	61 70	71 80	81 90	91 100	101 110	111 120	幾何 平均值
農村	1	1	1	5	2	1	3	3	—	—	64
小都市	—	2	—	—	3	5	3	4	—	3	77
大都市	1	—	—	1	1	4	2	1	1	—	73
計	2	3	1	6	6	10	8	8	1	1	73

韓電으로서는 配電用 變壓器의 損失係數 및 利用率를 全體에 對해서

損失係數=0.23

利 用 率=0.73

을 通用하고 있다.

B. 韓電系統 投資 諸係數

1. System Investment

種 門	價 格
Steam	6,622,637,416. ⁷²
Hydro	4,466,768,859. ⁶⁷
Diesel	776,919,667. ²¹
Transmission	4,475,057,767. ⁸²
Distribution	6,641,024,603. ²⁹
total	22,982,408,314.⁷¹

2. System Facilities

種 別	容 量
Steam	353,919 KVA
Hydro	160,350 KVA
Diesel	49,620 KVA
total	563,889 KVA

3. Demand Charge

$$22,982,408,314.⁷¹ \div 563,889 = 40,758$$

4. Cost of Energy=1.32

5. Load factor=65%

6. Capitalization rate

이에 對한 韓電 發表가 없어 이것은 大略 15%로 보기로 한다.

VII. 新 仕様 變壓器 數值 計算法

A. (I)/(L)의 決定

固定負荷에 對한 年間 運轉費는 (16)式으로 表示 되고 過負荷 全壽命期間中의 全 運轉費는 年間 負荷增加率를 $\alpha\%$ 라고 表示했을 때 (17)式으로 表示되는데 지금 計算을 簡單히 하기 為하여 25 KVA 變壓器에 對해서 그 壽命이 25年이고 年間 負荷增加率도 年 1 KVA로 一定하게 보

$$\begin{aligned} & \text{연 全壽命 期間 全運轉費는 (16), (17)式으로 부터} \\ & =25\{(G)\times(R)+(D)\times(G)\times(R)+(I)\times(8760)\times(B)\} \\ & -\{(L)\times(G)\times(R)\times(F_3)\times\left(\frac{1}{N^2}\right)+(L)\times\left(\frac{1}{N^2}\right) \\ & \times(F_2)\times(8760)\times(B)+(N)\times(F_4)\times(8760)\times(S) \\ & +\left(\frac{1}{N^2}\right)\times(F_2)\times\left(-\frac{D}{100}\right)\{25^2+(25+1)^2+\dots\dots\} \\ & +(25+24)^2\} \end{aligned}$$

여기에 韓電 系統 諸值(VI項值)을 代入 固定運轉費와 可變運轉費가 같게 해서 全運轉費가 最小가 되는 (I)와 (L)의 比를 求하면

$$(I)/(L)=0.69$$

가 된다.

B. (I)/(L)=0.69에 對해서 第V項의 方法에

依한 25 KVA 變壓器 寸數 決定法

지금 어떤 冷間 壓延 硅素鋼板 單位重量常 署價가 $C_f=130$ 원/lb, 銅單價 $C_c=350$ 원/lb라고 할 것 같으면 IV項 (d)에 論한바에 依하여 그림 7로 부터 磁漿密度, 電流密度가 각각 $B=17,000$ lines/in², $A=1,500$ Amp/in²가 되어 그 寸數가 다음과 같이 된다.

Flux density $B=17,000$ gauss

$$W_c=1.30\times 1.12=1.45 \text{ W/lb}$$

Current density 1500 Amp/in²

$$W_k=2.58\times(234.5+85/234.5+75)\times 1500^2\times 1.1\times 10^{-6}=6.59 \text{ w/lb}$$

損失比 0.69

重量比

$$G_c/G_k=6.59/1.45\times 0.69=3.14$$

Out put constant C=0.8

Core section area

$$A_c=0.8\sqrt{\frac{25\times 3.14\times 10^{11}}{109.650\times 1500\times 60}}=22.55 \text{ in}^2$$

$$a=\sqrt{22.55/1.5\times 0.95}=3.99 \quad 4.00 \text{ 로 함}$$

$$b=4.00\times 1.5=6.00 \text{ in}$$

補正 鐵心 斷面積

$$A_{ck}=(4\times 6-0.25\times 0.5\times 4)\times 0.95=22.3 \text{ in}^2$$

(단 여기서 네귀에서 0.25\times 0.5의 커뮤톤을 하였다)

Total flux

$$\phi_t=109.650\times 22.3=2440 \text{ Kilo line}$$

低壓捲數

$$t_l=\frac{210\times 108}{4.44\times 60\times 2440\times 10^3}=32.3 \quad 32 \text{로 함}$$

$$t_h=32\times 6300/210=960$$

電流王

$$I_h=25\times 10^3/6300=3.97 \text{ Amp}$$

$$I_l=25\times 10^3/210=119 \text{ Amp}$$

銅 斷面積

$$S_{ch}=3.97/1500=0.00265 \text{ in}^2$$

$$S_{ct} = 119/1500 = 0.0793 \text{ in}^2$$

$$V/T = 210/32 = 6.56 \text{ volt}$$

$$h_w w_w = \frac{2 \times 0.0793 \times 32}{0.30} = 16.9 \text{ in}^2$$

h_w/w_w 를 2.5로 하면

$$h_w = \sqrt{2.5 \times 16.9} = 6.5 \text{ in}$$

$$w_w = 6.5 \times 1/2.5 = 2.6 \text{ in}$$

따라서

Mean length of flux path 는

$$L_{af} = 2[6.5 + 2.6] + 2\pi = 24.5 \text{ in}$$

鐵量은

$$G_c = 22.3 \times 24.5 \times 0.272 = 149 \text{ lb}$$

捲線의 平均 一回長은

$$L_{av} = 2[4.0 + 6.0 + 2.6 \times 2] = 30.4 \text{ in}$$

銅量은

$$G_k = 2 \times 960 \times 30.4 \times 0.00265 \times 0.321 = 49.7 \text{ lb}$$

따라서

重量比는

$$G_c/G_k = 149/49.7 = 149/49.7 = 3.00$$

捲線 設計

低壓은 分割 交叉形으로

$[0.144 \times 0.289 = 0.0408 \text{ in}^2]$ 의 銅線을 두개 높이 방향으로 para 로 감는다.

Coil 의 높이는 절연 size 가 0.165×0.307 이니까
 $0.307 \times 2 \times (8+1) = 5.53 \text{ in}$

이것을 2층씩 고압권선의 안팎에 감는다.

Coil 의 depth 는

$$0.165 \times 2 + 0.012 \times 2 = 0.354$$

Core 와 secondary 는 $1/8''$ press board 로 절연하고
secondary 와 primary winding 간에는 $1/8''$ press board
와 $1/2''$ spacer 를 넣어 생각한다. Spacer 는 물론
window 에는 넣지 않는다.

高壓捲線

$$0.057 \text{ D (bare)} \rightarrow 0.0607 \text{ (insulated)} \rightarrow 0.00255 \text{ in}^2$$

한층에 45回式 2 section 으로 나누어 감고 그 사이를
 $1/2''$ 이격 시키면

Coil 의 높이는

$$0.0607 \times 45 \times 2 + 0.5 = 5.96 \text{ in}$$

Coil 의 두께는

$$0.0607 \times 11 + 0.012 \times 10 = 0.79 \text{ in}$$

고압권선과 밖의 저압권선 사이엔 $3/16''$ press board
와 $1''$ space 를 넣고 고압권선의 5층과 6층 사이에 $1/4''$
duct former 를 window 양쪽에 넣는다. Yoke 와의 사이
엔 $1/16''$ press로 권선을 보호한다. 창구내에서의 coil
의 총 두께는 $1/8'' + 0.354 + 1/8 + 0.79 + 3/16 + 0.354 + 1/4''$
 $+ 1/16 = 2.25$ 即 window size 는 $h_w = 6.5$, $w_w = 2.25 \text{ in}$
가 된다.

運轉特性

Total flux

$$\phi_t = \frac{6300 \times 10^8}{4.44 \times 60 \times 960} = 2.465 \text{ kilo line}$$

Flux density

$$B = 2.645 \times 10^8 / 22.3 = 110.000 \text{ line/in}^2$$

Main length of flux path

$$2 \times [6.5 + 2.25] + 2\pi = 23.8$$

Gross core weight 는

$$G_c = 22.3 \times 23.8 \times 0.272 = 145 \text{ lb}$$

捲線의 電流密度

$$A_i = 119 / 0.0816 = 1460 \text{ Amp/in}^2$$

$$A_h = 3.97 / 0.00255 = 1560 \text{ Amp/in}^2$$

平均 一回長은

$$L_{av} = 2[4.0 + 6.0 + 2.25 \times 2] = 29.0 \text{ in}$$

各 捲線의 銅量은

$$G_i = 32 \times 0.0816 \times 29 \times 0.321 = 24.3 \text{ lb}$$

$$G_h = 960 \times 0.00255 \times 29 \times 0.321 = 22.8 \text{ lb}$$

$$G_k = G_i + G_h = 47.1 \text{ lb}$$

重量比는

$$G_c/G_k = 145/47.1 = 3.08$$

Output const. 는

$$C = \frac{22.3}{\sqrt{\frac{25 \times 3.08 \times 10^6}{110.000 \times 1500 \times 60}}} = 0.80$$

Copper space factor

$$f_s = \frac{32 \times 0.0816 + 960 \times 0.00255}{2.25 \times 6.5} = 0.35$$

Core loss

$$W_{kl} = 1.45 \times 145 = 210 \text{ Watt}$$

I^2R stray load loss

$$W_{kh} = 2.66 \times 1460^2 \times 1.1 \times 24.3 = 151 \text{ watt}$$

$$W_{kh} = 2.66 \times 1560^2 \times 1.1 \times 228 = 162 \text{ watt}$$

$$W_k = 151 + 162 = 313 \text{ watt}$$

損失比는

$$W_c/W_k = \frac{210}{313} = 0.67$$

Resistance at 85°C

$$R_i = 151 / 119^2 = 0.0107 \Omega$$

$$R_h = 162 / 3.97^2 = 10.3 \Omega$$

Equivalent resistance

$$R_t = 313 / 3.97^2 = 19.8 \Omega$$

% resistance voltage drop

$$P_r = 19.8 \times 3.97 / 6300 = 1.25 [\%]$$

% reactance drop

$$P_x = \frac{21.5 \times 60 \times 960^2 \times 3.97}{6300 \times 5.96 \times 10^6} \left(\frac{0.79 + 0.708}{6} + 0.125 \right) \times 29.0 = 1.00 \%$$

% impedance drop

$$P_z = \sqrt{1.25^2 + 1.00^2} = 1.6\%$$

短絡 持續電流

$$I_s = 3.97 \times 100 / 1.6 = 248 \text{ Amp}$$

Voltage regulation at p.f.=1.00

$$\epsilon_{1.00} = 1.25 + \frac{1.00^2}{200} = 1.26\%$$

Voltage regulation at p.f.=0.80

$$\epsilon_{0.80} = 1.25 \times 0.8 + 1.00 \times 0.6 + \frac{(0.8 \times 1.00 - 0.6 \times 1.25)^2}{200} = 1.6\%$$

A · T for flux density $B = 110,000 \text{ lines/cm}^2$

13.4 VA/lb

Total exciting VA는

$$13.4 \times 145 = 1940 \text{ VA}$$

Magnetizing current는

$$I_m = \frac{1940}{6300} = 0.308 \text{ Amp}$$

Iron loss cur는

$$I_w = 210 / 6300 = 0.0333 \text{ Amp}$$

No load exciting cur는

$$I_e = \sqrt{0.308^2 + 0.0333^2} = 0.31 \text{ Amp}$$

%Z exciting cur는

$$(0.31 / 3.97) \times 100 = 7.8\%$$

各負荷에 對한 損失, 入力, 出力, 効率等을 表4에 記載한다.

表 4.

Load	1/4	2/4	3/4	4/4	5/4
I ² R stray load loss	20	78	176	313	489
Core loss	210	210	210	210	210
Total loss	230	288	386	523	699
Out put	6,250	12,500	18,750	25,000	31,250
In put	6,480	12,788	19,136	25,523	31,949
Efficiency	96.5	97.7	98.0	98.0	97.8

변압기 core-coil assembly 의 dimension은

$$\text{가로} = 4 + 4.5 + 4 = 12.5 \text{ in}$$

$$\text{세로} = 6 + 4.5 + 1 + 2 + 0.5 = 14.0 \text{ in}$$

Tank의 inside diameter를 16"로 하고 유연의 높이를 25"로 하면

桶의 體積은

$$8^2 \times 25 \times \pi = 5180 \text{ in}^3$$

Core-coil assembly 만의 體積은

$$145 / 0.272 + 47.1 / 0.321 = 680 \text{ in}^3$$

따라서 油의 體積은

$$5180 - 680 = 4500 \text{ in}^3 = 19.5 \text{ G/A}$$

重量은

$$19.5 \times 7.0 = 136 \text{ lb}$$

Tank의 平均 溫度上昇은

$$\theta_{lm} = \frac{523}{(0.0007 + 0.0006) \times 16 \times 25 \times \pi \times 6.45} = 49.7^\circ$$

油溫上昇은 $49.7^\circ + 5^\circ = 54.9^\circ$ 捲線의 溫度上昇은 $54.9^\circ + 5^\circ = 59.9^\circ$

Transformer design sheer

		H.V., 6300	H.V.,	
		Kva. 25 Phase, Single Cycles, 60 Volts LV., 210-105 Phase Volts L.V..	Type. HL-65 Lieu Amperes LV., 119 Phase Amperes LV., Type of Cooling Self, Oil	
Core				
Steel sheet	Hipersil	.30mm	Resistance	1.25
Out constant		.80	Reactance	1.00
Core leg	Center	Outside	Impedance	1.60
Area	22.3		Power factor	80 100
Diameter			Regulation	1.60 1.26
Dimensions	4.0 × 6.0		Total core	210
Density	110,000		Stray load	31
Weight	145		Tota copper	313
Core factor			Percent:	
Yoke:			Load	25 50 75 100
Area			Efficiency	96.5 97.7 98.0 98.0
Dimensions				
Density			Square inches per watt	
Weight			Ratio of losses	.67
Copper space factor, f	.35		Ratio of weghes	3.08
Window dimensions	6.5 × 2.25		TANK plain	
Lamination factor kl	.95		Type of bank, corrugated sheet steel	
CORE and WINDINGS			Square inches per watt	2.4
Mean length of flux path	23.8		Total wetted surface	1260
Total VA	1940		Depth of oil	25
Magnetizing current	.308		Gallons of oil	19.5
Core loss content	.0331		Weight of oil	136
Exciting current;			Cooling coils:	
Ampers	0.31		Size	
Per cent	7.8		Length	
			Surface	
			Water, gallons per minute	

Windings	High-voltage	Low-voltage
Type of winding	concentric	concentrif
Connections		
Coudactor: Dimension.....	0.0607 FVCW	0.144x 0.289
Section	0.00255	0.0408
Number in parallel.....	none	2
Current density.....	1560	1460
Turns per phase	960	32
Coils: Total number	2	2
Per core leg	2	2
Turns: Per coil.....	480	16
Per layer	45	8
Number of layers.....	11	4
Coil: Connections	series	series & parallel
Dimensions79x2.73	.354x5.53
Ducts, number and size.....	1/2"TKx2	none
Insulation: Layer012x1	.012x2
Core and Coils125 PB
HV and LV125 PB & 188 PB
Voltage per turn		6.56
Maximum voltage between layers		590
Length of mean-turn	29.0	29.0
Ccpper: Weight.....	22.8	24.3
Lose	162	151
Resistance, 85°C0107	10.3
Per cent and turns with extra insulation		

VII. 結論

여기 예로設計된變壓器와 K.S.의 이에該當되는變壓器와를比較할 때 (16)式은各各

$$\text{新規格 年間 全運轉費} = 13150 + 5.56 P^2$$

$$\text{K.S. 規格 年間 全運轉費} = 1330 + 6.35 P^2$$

이것을 25年間 每年 1KVA式 過負荷시켜 最終 年度에 50KVA까지 負荷했을 경우의 運轉費用은 각각 524990원, 560880원으로서 그 差는 35790원이 되며 新規變壓器가 35790원의 得이 됨을 알수 있다. 以上으로 結論을 내자면

- 變壓器 仕様中 鐵損과 銅損과 銅損의 比率은 全壽命期間中 全運轉費가 最小 되도록 定해야 한다.
- 變壓器 價格은 鐵 및 銅의 單價變化에 依해서 決定되는 것이지 鐵損과 銅損의 比率에는 無關함으로 1項의 條件에 關係 없이 그 價格을 調節 할수 있다.
- 絕緣物, 冷却油의 發達로 말미아마 新 仕樣 變壓器의

價格을 高效率이면서 舊 仕樣 變壓器와 같이 할 수 있다.

4. 設計 技術의 進步에 信賴하여 2倍의 過負荷까지 許容해야 한다.

5. 4項의 경우 需要家の 不平을 除去키 為하여 電壓變動率를 改善해야 한다.

이는 溫度上昇 限度를 增大 시킴으로서 冷却에서 節約되는 費用을 鐵 및 銅에 分配함으로써 이루어진다.

6. 韓電 系統 諸係數가 地方的으로 相異함으로 地方的으로 區分 仕樣을 決定지어야 할 것이다.

7. 原來 本 研究에 着手時는 韓電 系統에 適合한 新 仕樣 變壓器 全體에 對한 仕樣을 決定 지을 豫定이였으나 韓電 統計의 未備와 原資材入手 事情 其他로 具體的인 仕樣을 提示못하게 되고 以上과 같은 仕樣 決定 方法을 究明함에 그치게 되었다.

(1965年 10月 8日 接受)